

三次元地山荷重下の近接した二個の円形トンネル周辺における応力状態

山梨大学 工学部・平島健一
神戸大学 大学院 久武勝保

1. 緒言

二次元弹性板内に二個の内孔を設けた場合の孔周辺に生じる応力は従来より、双極座標系による方法、複素変数法その他の手法を用いて解析が行なわれてゐる。これらうち、外荷重自身と応力関数式で表示した双極座標系での解析方法は任意分布の外荷重状態の場合に対しては繁雑すぎて一般性に乏しく、また差点法と組み合せた複素変数法は内孔周囲が近接すると収束性が低下し、計算時間が長くなると工夫欠点がある。本文では、これらを克服するため外荷重と級数展開し、双極座標系による解法を用いて、孔径に比して充分遠方より作用する三次元的に傾斜した地山荷重のものとの二内形坑道周縁の応力分布の数値例を示す。この方法で求めた結果と他の解法によるものとの比較を行ない、三次元的な地山荷重下の二内孔周縁の応力分布の例と具体的に示す。

2. 解法の概略

面内に作用する外荷重応力 σ_x^o , σ_y^o および τ_{xy}^o に対する解法は双極座標系と用いて、Jeffery¹⁾以下多くの研究者により式の説明ならびに幾つかの数値計算例が示されてゐるので、ここでは、二個の内形坑道の孔径に比較して充分遠方から面外(Z軸)方向の外荷重 σ_z^o および τ_{yz}^o が作用する場合の解法の概要を述べよう。

いま、次式で定義されるような双極座標系：

$$d + i\beta = \log \frac{x + i(y + \alpha_0)}{x + i(y - \alpha_0)} \quad (1)$$

を考えるものとすれば、 $d = \text{const.}$ の曲線は二内孔の境界をその一部分とする内孔群であり、 $\beta = \text{const.}$ はこれに直交するよう内孔群を表す (Fig. 1 参照)。

この座標系と用いて Fig. 2 に示す外荷重応力のうち、面外(Z軸)方向のせん断荷重 τ_{xz}^o , τ_{yz}^o の作用のもとで、変位の一様性を満足するように応力関数 $\psi(d, \beta)$ を次式のように假定する。

$$\psi(d, \beta) = \sum_{n=1}^{\infty} \left\{ P_n(d) \cos n\beta + Q_n(d) \sin n\beta \right\} \quad (2)$$

$$\begin{aligned} P_n(d) &= E_n \cosh nd + F_n \sinh nd \\ Q_n(d) &= E'_n \cosh nd + F'_n \sinh nd \end{aligned} \quad (3)$$

とし、外荷重 τ_{xz}^o , τ_{yz}^o が作用する場合の内孔のはば彈性体の假想内孔 ($d = d$ の線上) の周縁における応力 σ_{xz}^o , σ_{yz}^o

Fig. 1

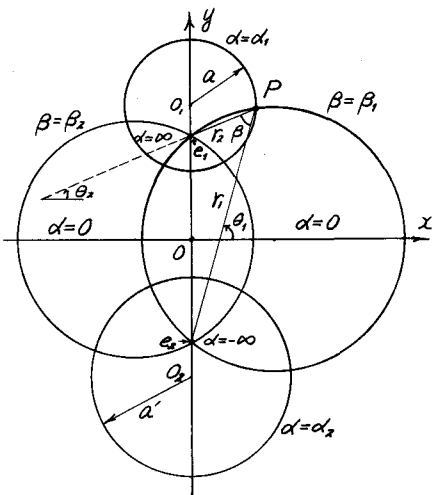
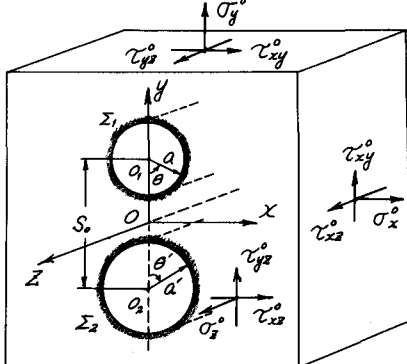


Fig. 2



と級数表示すれば、次式のようになる。

$$\begin{aligned} \tau_{xz}^0 &= -\tau_{yz}^0 e^{i\theta} + 2 \sinh d \sum_{n=1}^{\infty} e^{i\theta n} (\tau_{xz}^0 \sin n\beta \pm \tau_{yz}^0 \cos n\beta) \\ \tau_{yz}^0 &= \tau_{xz}^0 e^{i\theta} + 2 \sinh d \sum_{n=1}^{\infty} e^{i\theta n} (\tau_{yz}^0 \sin n\beta \mp \tau_{xz}^0 \cos n\beta) \end{aligned} \quad \dots \quad (4)$$

ただし、 $d > 0$ のときは上側の符号を、 $d < 0$ のときは下側の符号をとるものとする。

しかし、実際には二個の内孔線は自由境界であるから、境界条件として、式(4)における τ_{xz}^0 ($d=d_1$ の円に対する法線方向の面外せん断応力) と絶対値が等しく反対符号の外荷重 $-\tau_{xz}^0$ ($d=d_2$) の内孔周線に作用すればよい。とくに図3。

双極座標系で表わした面外せん断応力 τ_{xz}^0 、 τ_{yz}^0 は式(2)の応力関数を用いて

$$\begin{aligned} \tau_{xz}^0 &= h \frac{\partial \psi}{\partial \beta}, \quad \tau_{yz}^0 = h \frac{\partial \psi}{\partial \alpha} \\ h &= \frac{1}{2} (\cosh d - \cos \beta) \end{aligned} \quad \dots \quad (5)$$

図3(a) 5.3.5, 6.1.5. で面外せん断応力 τ_{xz} 、 τ_{yz} は式(4)および式(5)の結果より計算すれば、無限遠より τ_{xz}^0 、 τ_{yz}^0 が作用する場合の二個の自由境界の内孔周辺部における応力値となる。

3. 解法の精度

面内荷重 σ_x 、 σ_y および τ_{xy} が作用する場合の二個の等、あるいは子等内孔周縁の

応力分布に対する精度は従来までの研究者による結果と比較して非常によく一致してい

る。例えば、これは数値表は省略す

るが、Haddow²⁾の求めた結果との差異は中

心向筋 S_0 を各パラメータとしたすべての

算例に対して 0.2% 程度以内である。

次に、面外荷重 τ_{xz}^0 、 τ_{yz}^0 が作用する場合

の上述の解法と接素変数法に屈点法を組み

合せた解析手法によると計算例の一例を示

せば Table 1 のようである。これは二個

の等内孔 Σ_1 、 Σ_2 が $S_0/2a = 1.20$ の離隔距離の

位置に存在する場合の孔 Σ の周縁での応力 τ_{xz} の値である。

より両者の解法は非常によく精度

一致していられるよう。

他の離隔距離パラメータ $S_0/2a$ についての例につれても同様の

Table 1. Two Equal Holes ($a=a'$)
 $S_0/2a = 1.20$

θ	τ_{xz} around Σ_1 ($\times \tau_{xz}^0$)		τ_{yz} around Σ_1 ($\times \tau_{yz}^0$)	
	Bipolar Solution	Point Matching ³⁾	Bipolar Solution	Point Matching ³⁾
0°	3.535	3.532	0.000	0.008
15°	3.020	3.019	0.136	0.136
30°	2.104	2.104	0.473	0.473
45°	1.355	1.356	0.945	0.945
60°	0.765	0.765	1.378	1.378
75°	0.231	0.234	1.681	1.681
90°	0.289	0.289	1.825	1.825
105°	-0.793	-0.793	1.810	1.811
120°	-1.260	-1.260	1.649	1.649
135°	-1.660	-1.660	1.359	1.359
150°	-1.967	-1.967	0.966	0.966
165°	-2.161	-2.161	0.501	0.501
180°	-2.227	-2.227	0.000	0.002

Fig. 3 (a)

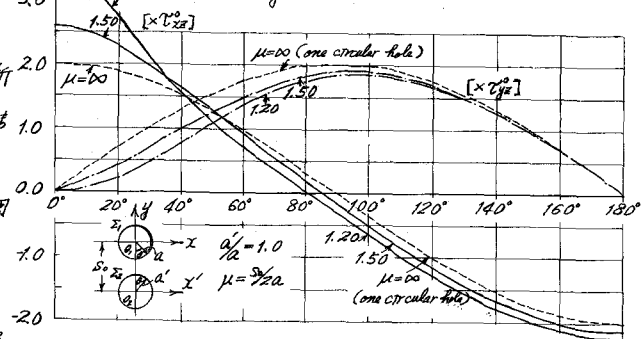


Fig. 3 (b)

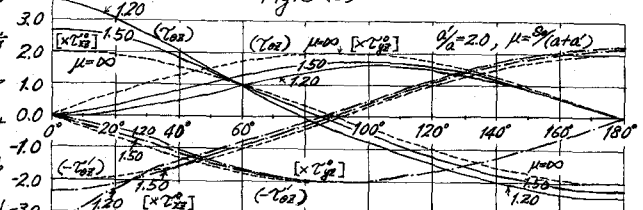
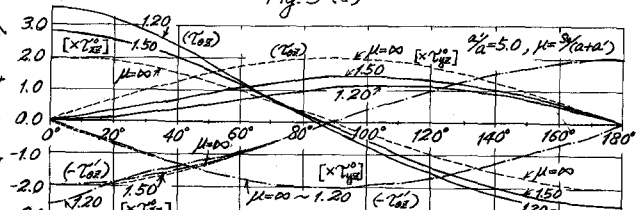


Fig. 3 (c)



となる。したがって、本解法は面内、面外荷重下における σ_{xy} の充分小さな値の場合に対しても非常に高精度の結果がえらべると結論することができる。

4. 数値計算例

Table 2 は大きさの異なる二個の円孔 Σ_1, Σ_2 の周縁に生じる最大最小の応力である σ_{xx} と σ_{yy} および面内、面外荷重 $\tau_x^o, \tau_y^o, \tau_{xy}^o, \tau_{xz}^o, \tau_{yz}^o$ をパラメータとして表示したものである。とくに二個の円孔 Σ_1, Σ_2 の径が等しい場合には、孔 Σ_1 の周縁上の 15° 周角の位置の応力値をTable 3に示した。この表中にはパラメータ $\sigma_{xy}^o = 1.50$ および 1.20 とした場合が示されており、なお、面外荷重 τ_{xy}^o, τ_{yz}^o の場合についてはTable 1 にて $\sigma_{xy}^o = 1.20$ の結果が示されており、この表ではその物の結果は省略してある。

次に興味ある計算例を示そう。Fig. 4 は二個の等円孔に面内荷重 $\tau_y^o = 1.0$ が作用する場合のA点(i.e. $\theta = 0^\circ$ の点)に生じる σ_{xy} の値を図示および表示したものである。 σ_{xy}^o (i.e. $1/2$)があつて程度大きくなることは、A点の応力 σ_{xy} は減少するが、 $\sigma_{xy}^o = 1.50$ 程度の所で最下限値が存在し、それ以後は応力増大の現象が認められる。このことに関する⁴⁾宇戸口博士も示すところによれば、著者らの結果とはかなりの相違がある。ちなみに、Haddonの結果とみよと $\sigma_{xy}^o = 1.05$ のとき、A点での応力値として著者5と同一の結果 $(\sigma_{xy})_{\text{obs}} = -0.970$ と与えてある。

Fig. 4

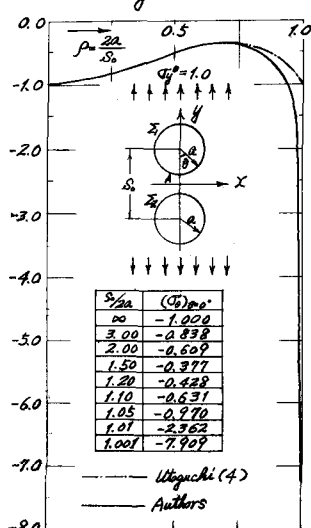


Table 3 Stress Distributions around Two Equal Circular Holes

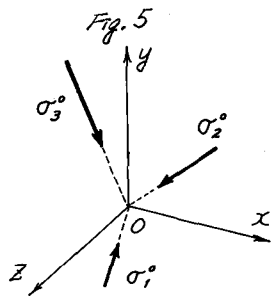
θ	Stress distributions around hole Σ_1				Stress distributions around Σ_2			
	$\sigma_x^o = 1.0$	$\sigma_y^o = 1.0$	$\tau_{xy}^o = 1.0$	$\tau_{xz}^o = 1.0$	$\tau_{yz}^o = 1.0$	$\sigma_x^o = 1.0$	$\sigma_y^o = 1.0$	$\tau_{xy}^o = 1.0$
	$\sigma_{xy}^o = 1.50$	$\sigma_{xy}^o = 1.20$	$\sigma_{xy}^o = 1.50$	$\sigma_{xy}^o = 1.20$	$\sigma_{xy}^o = 1.50$	$\sigma_{xy}^o = 1.20$	$\sigma_{xy}^o = 1.50$	$\sigma_{xy}^o = 1.20$
0°	3.246	4.417	-0.379	-0.430	0.000	0.000	2.594	0.000
15°	3.078	3.817	-0.407	-0.415	3.617	5.485	2.420	0.318
30°	2.416	2.695	-0.258	-0.392	4.983	5.221	1.999	0.702
45°	1.434	1.438	0.366	0.121	4.469	3.415	1.484	1.117
60°	0.293	0.221	1.313	1.122	3.047	1.839	0.948	1.484
75°	-0.545	-0.629	2.177	2.073	1.199	0.241	0.404	1.740
90°	-0.888	-0.926	2.623	2.581	-0.839	-1.532	0.141	1.858
105°	-0.631	-0.622	2.516	2.499	-2.786	-3.209	-0.668	1.829
120°	0.090	0.160	1.909	1.905	-4.105	-4.364	-1.151	1.659
135°	1.113	1.216	1.000	0.996	-4.484	-4.639	-1.564	1.365
150°	2.142	2.263	0.059	0.051	-3.774	-3.867	-1.879	0.969
165°	2.878	3.020	-0.639	-0.647	-2.144	-2.190	-2.077	0.503
180°	3.143	3.295	-0.896	-0.903	-0.003	0.000	-2.144	0.000

面外荷重 σ_{xz}^0 , σ_{yz}^0 が作用する場合に二円孔 Σ_1 , Σ_2 の周縁に生じ
3せん断応力 τ_{xz} , τ_{yz} の分布図と、円孔径比 a'/a および中心間距離
 $S_0(a+a')$ とパラメータとして展開図として示したもののが Fig. 3 である。図には a'/a として 1.0, 2.0 および 5.0 の三種類の場合
に対して、 $\mu = S_0(a+a')$ を $\mu=00, 1.50$ および 1.20 とした孔
縁応力が与えられてる。点線は $\mu=00$ (i.e. 一円孔のみが存在
する場合) の分布図であり、実線は σ_{xz}^0 が、また一点鎖線は σ_{yz}^0
がそれぞれ独立に作用した場合の分布図である。 σ_{xz}^0 が作用す
る場合、 $\theta=0^\circ \sim 0^\circ$ 附近に大きな応力集中が生じ、一方 σ_{yz}^0 が作用す
る場合には図にみるよに、応力集中はむしろ減少する傾向を
示す。

以上に示した幾つかの数値計算結果を適当に重ね合せることによ
りて、充分遠方より作用する一般的な三次元地山荷重(二円形
坑道の軸に対して任意の傾斜角を有する三つの直交する主応力 σ_1^0 ,
 σ_2^0 および σ_3^0)下の二個の円形坑道周縁における応力 σ_1 , σ_2 およ
び σ_{xz} を計算することができる。たゞ一例として Fig. 5 に示すような地山荷重の σ_1^0 , σ_2^0 および σ_3^0 を仮定した場合
につれての応力 σ_1 , σ_{xz} の分布を示そう。Fig. 6(a) および (b)
は $a'/a=2.0$, $S_0=4.5a$ の位置に存在する二個の円形坑道 Σ_1 ,
 Σ_2 の周縁での応力 σ_1 , σ_{xz} および σ_2' , σ_{xz}' の分布図である。
Fig. 5 の地山荷重 σ_1^0 , σ_2^0 および σ_3^0 は同図中に示したように、座
標系 (x , y , z) 内の応力成分に分解することはできるが、
これまでの計算結果を单纯に重ね合せることにより、孔周縁応力
が求められる訳である。なお、本例では面外方向の直応力 σ_{xz}
の分布は示さなかったが、これは坑道軸が円孔径に比較
して充分に長くなるものと仮定し、かつ地山構成材のボアソ
ン比 ν が半分以下であるとするれば、簡単に計算できることは
である。⁵⁾ その他の荷重形式、孔径比あるいは中心間
距離の場合はつても同様の手法により孔周部の応力
分布を求めることが可能である。

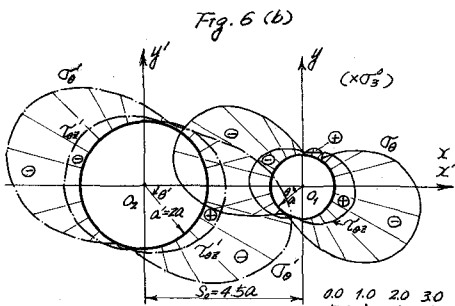
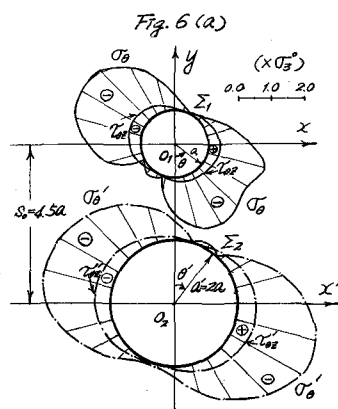
参考文献

- 1) Jeffery, G. B.: Plane Stress and Plane Strain in Bipolar Coordinates, Phil. Trans., Vol. 221 (1921), pp. 265-293
- 2) Haddon, R. A. W.: Stresses in an Infinite Plate with Two Unequal Circular Holes, Quart. J. Mech. Appl. Math. Vol. 6 (1953), pp. 277-291
- 3) 平島健一: 面外せん断力を受ける弾性体内的複数個の孔周辺応力変形, 山梨大学工学部研究報告, Vol. 33 (1973), pp. 74-83
- 4) 練戸口良善: 二円孔を有する板の平面応力問題, 応用数学力学, I-1 (1947), pp. 14-28, I-2 (1947), pp. 61-81
- 5) 丹羽, 小林, 平島: 三次元直交異方性弾性岩盤内の円形坑道周囲の応力および変形, 土木学会論文報告集, N. 173 (1970), pp. 7-17.



	direction of σ_1^0	direction of σ_2^0	direction of σ_3^0
x	64° 14'	32° 43'	71° 15'
y	119° 37'	94° 20'	30° 00'
z	41° 09'	122° 22'	67° 27'

$$\begin{aligned}\sigma_1^0 &= \frac{1}{3} \sigma_3^0 & \sigma_2^0 &= \frac{1}{4} \sigma_3^0 \\ \sigma_x^0 &= 0.387 \sigma_3^0, \quad \sigma_y^0 = 0.813 \sigma_3^0, \quad \sigma_z^0 = 0.384 \sigma_3^0 \\ \tau_{xy}^0 &= 0.203 \sigma_3^0, \quad \tau_{yz}^0 = 0.055 \sigma_3^0, \quad \tau_{zx}^0 = 0.253 \sigma_3^0\end{aligned}$$



Stress Distributions Around Two Adjoining Circular Tunnels Under Three-Dimensional Stress State

Ken-ichi Hirashima

Dept. of Civil Engineering, Yamanashi University

Masayasu Hisatake

Graduate Student of Kobe University

1. Introduction

For plane problem with two circular holes, some methods of analyses such as bipolar coordinates method, complex variable method with combined to point matching technique and so on have been used to obtain the solution of stresses and deformations around the holes. We use the solution of bipolar coordinates for the case of two adjoining circular openings under two-dimensional (i.e. plane) loads σ_x^0 , σ_y^0 and τ_{xy}^0 at infinity, and extend this solution to antiplane problem such as longitudinal loads τ_{xz}^0 and τ_{yz}^0 at infinity. Combining with these solutions, the present paper describes the closed solution for the case of an infinite elastic medium containing two adjoining circular tunnels, when the loads apply at infinity with three-dimensional stress state.

2. Solution for Antiplane Loadings

Let us take curvilinear coordinates defined by the conjugate functions:

$$\alpha + i\beta = \log \frac{x + i(y + a)}{x + i(y - a)} \quad \dots \dots \dots \dots \dots \dots \quad (1)$$

where x, y are the Cartesian coordinates and a is a positive real length. The general scheme of the coordinates is shown in Fig. 1. The curves $\alpha = \text{const.}$ are a set of co-axial circles having e_1, e_2 for limiting points. The curves $\beta = \theta_1 - \theta_2 = \text{const.}$ are circles passing through e_1, e_2 and intersecting to the first set of circles orthogonally. Under the antiplane loads τ_{xz}^0, τ_{yz}^0 applied at infinity, we can set

$$\Psi(\alpha, \beta) = \sum_{n=1}^{\infty} \left\{ P_n(\alpha) \cos n\beta + Q_n(\alpha) \sin n\beta \right\} \quad \dots \dots \dots \dots \dots \dots \quad (2)$$

where,

$$\begin{aligned} P_n(\alpha) &= E_n \cosh n\alpha + F_n \sinh n\alpha \\ Q_n(\alpha) &= E'_n \cosh n\alpha + F'_n \sinh n\alpha \end{aligned} \quad \dots \dots \dots \dots \dots \dots \quad (3)$$

When the body with no holes are applied by the loads τ_{xz}^0 and τ_{yz}^0 at infinity, shearing stresses τ_{xz}^0 and τ_{yz}^0 on the virtual contours of two circular holes (e.g. the contours $\alpha = d_j, j=1, 2$) can be given as

$$\tau_{xz}^0 = -\tau_{yz}^0 e^{j\theta_j} + 2 \sinh \sum_{k=1}^{\infty} \frac{E_k}{E'_k} e^{jk\theta_j} (\tau_{xz}^0 \sin k\beta + \tau_{yz}^0 \cos k\beta), \quad \tau_{yz}^0 = \tau_{xz}^0 e^{j\theta_j} + 2 \sinh \sum_{k=1}^{\infty} \frac{E'_k}{E_k} e^{-jk\theta_j} (\tau_{yz}^0 \sin k\beta + \tau_{xz}^0 \cos k\beta) \quad \dots \dots \dots \dots \dots \dots \quad (4)$$

where upper sign is for the case of $\alpha > 0$ and lower sign for $\alpha < 0$.

On the other hand, τ_{xz}' and τ_{yz}' are expressed from the relation of stress function $\Psi(\alpha, \beta)$ by the following formulae:

$$\tau_{xz}' = h \frac{\partial \Psi}{\partial \beta}, \quad \tau_{yz}' = h \frac{\partial \Psi}{\partial \alpha}, \quad h = \frac{1}{a} (\cosh \alpha - \cos \beta) \quad \dots \dots \dots \dots \dots \dots \quad (5)$$

As was shown above, when obtaining the stresses in the body under consideration without openings subjected to uniform longitudinal loads τ_{xz}^0 and τ_{yz}^0 at infinity, stresses in the body with two circular holes can be calculated as follows. Firstly, we calculate the radial shearing stress τ_{xz}^0 on the virtual contours of holes which would be perforated in the body, from eq.(4). Then, we calculate the stresses by eq.(5) when the external loads equal the magnitude and oposite sign of the stresses in the above are applied on the contours of the body. And then we can solve the problem under consideration by superimposing the stress components τ_{xz}' , τ_{yz}' by eq.(5) to τ_{xz}^0 , τ_{yz}^0 by eq.(4).